

УДК 551.243 + 551.242.1 (571.651)

## ОСОБЕННОСТИ СТРОЕНИЯ ПАЛЕОЗОЙСКО-МЕЗОЗОЙСКИХ КОМПЛЕКСОВ МЫСА КИБЕРА (ЦЕНТРАЛЬНАЯ ЧУКОТКА): СТРУКТУРНО-ДЕФОРМАЦИОННЫЙ АНАЛИЗ

S.M. KATKOV

ООО «Майкромайн Рус»

105318, Россия, г. Москва, Семёновская площадь., 1а; e-mail: skatkov@micromine.com

На основании структурного анализа палеозойско-мезозойских толщ мыса Кибера (Чукотка) доказано наличие трёх крупных деформационных этапов в тектоническом развитии Центральной Чукотки. Позднедевонские структурные парагенезы элсмирского деформационного события затушёваны более молодыми структурами как минимум двух этапов мезозойско-кайнозойского возраста — синколлизионным север—северо-восточным (ССВ) — юг—юго-западным (ЮЮЗ) сжатием, северо-западным (СЗ) — юго-восточным (ЮВ) сжатием, и последовавшим постколлизионным растяжением в нескольких направлениях. Проведено сопоставление структурных стилей со структурами Южно-Анюйской сuture и западного сектора Чукотки, подчеркнуто их сходство и сингенетичность этапов тектонических преобразований.

**Ключевые слова:** элсмирские деформации; поздне-палеозойские граниты; мыс Кибера; структурный анализ; коллизия; Чукотка; Восточная Арктика; палеозой; микроконтинент Чукотка—Арктическая Аляска; элсмирский орогенез.

## THE FEATURES OF THE PALEOZOIC-MESOZOIC COMPLEXES OF KIBER CAPE (CHUKOTKA, ARCTIC RUSSIA): A STRUCTURAL-DEFORMATION ANALYSIS

S.M. KATKOV

LLC «Micromine Rus»

105318, Russia, Moscow, Semyonovskaya Sq., 1a; e-mail: skatkov@micromine.com

Three major regional deformation stages of Central Chukotka tectonic evolution were determined in Paleozoic-Mesozoic deposits of Kiber Cape. The research was based on a structural analysis of the linear and planar elements. Ellesmerian (Late Devonian) structural parageneses were masked during (at least) two phases of young Mesozoic-Cenozoic deformations: syncollisional North-North-East – South-South-West and North-West – South-East regional compressions and post-collisional extension of various directions, followed the compressions. The structural data comparison was made for Kiber Cape region, South-Anyui suture and Western Chukotka sector. It was emphasized that these regional units have similar structure styles and coeval phases of the tectonic transformations.

**Keywords:** Ellesmerian deformation; Late Paleozoic granite; Kiber Cape; structural analysis; collision; East Arctic; Chukotka; Paleozoic; Arctic Alaska-Chukotka microcontinent; Ellesmerian orogeny.

В раннемеловое время в ходе коллизии с Евразией микроконтинент Чукотка—Арктическая Аляска претерпел существенные тектонические преобразования с формированием региональных надвигов, крупных опрокинутых складок, многочисленных разрывных нарушений и других сопряжённых с ними структур. Более поздние сдвиговые деформации нескольких этапов кайнозойского времени были не столь масштабными, но ввиду молодого возраста четко прослеживаются по всей Чукотке [3, 5]. Для Аляски и о. Врангеля установлено наличие следов доколлизионного позднедевонского элсмирского орогенеза [1, 4], а в пределах Чукотского блока признаки деформаций этого возраста до сих пор не были выявлены.

С целью восстановления истории тектонического развития Центральной Чукотки в ходе полевых работ ГИН РАН изучались структурные парагенезы палеозойских метаморфических и магматических комплексов, а также терригенных толщ мезозойского возраста в районе мыса Кибера (100 км к СВ от г. Певек). При парагенетическом анализе выделялись структуры, сформированные на одних деформационных этапах, проводились массовые замеры плоскостных и линейных элементов (осадочной слоистости, кливажа, сланцеватости, осевых поверхностей, элементов складок, зеркал скольжения, трещин, теней давления и т. д.). Структурные данные обрабатывались и визуализировались в программном продукте Micromine 2014

(Vers.15.2) на нижней полусфере (равноплощадная проекция).

Изучение тектонической истории Чукотки также актуально с практической точки зрения, так как с деформационными структурами, характерными для коллизионного этапа, связана золоторудная минерализация, а с постколлизионными деформациями — нефтегазоносность осадочного чехла шельфа Чукотского и Восточно-Сибирского морей [1].

### Структурно-деформационный анализ

Комплексы палеозойских пород распространяются от мыса Кибера в юго-восточном направлении в структуре региональных антиформных поднятий (рис. 1). В береговых обрывах изучались тер-

**Структурные парагенезы палеозойских метаморфизованных комплексов.** Нижне-среднедевонские толщи мыса Кибера представлены ритмичным переслаиванием зеленовато-серых вулканомиктовых туфоалевролитов и тёмно-серых аргиллитов. В более грубозернистых пластах обычно прослеживается градационная слоистость, по которой устанавливается преобладающее нормальное залегание толщ. В ряде случаев основной кливаж  $S_1$  параллелен осадочной слоистости  $S_0$ , однако чаще наблюдается их взаимное пересечение. В отдельных слоях с чёткой градационной слоистостью проявлен слабый изгиб кливажных поверхностей, который при развитии степени деформации может доходить до «преломления кливажа». Для раннедевонских толщ характерны  $S$ - или  $Z$ -образные структуры в

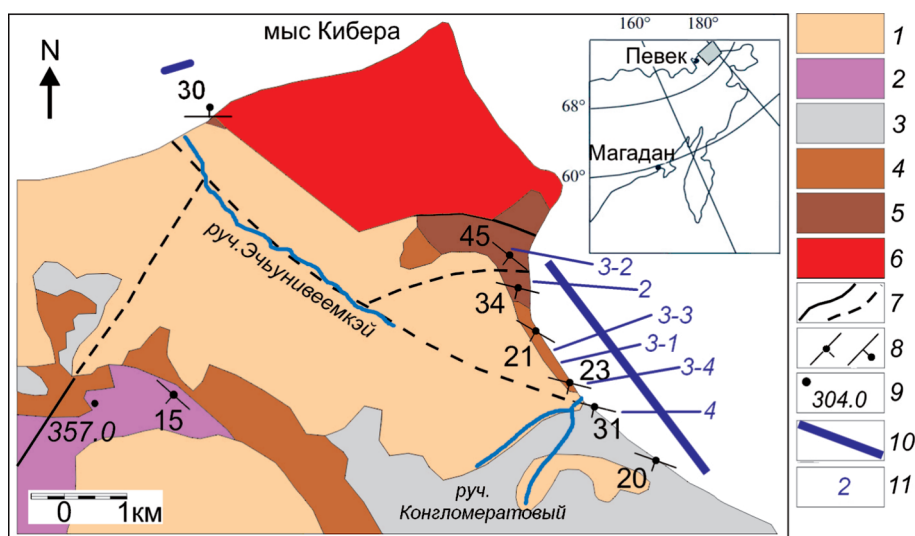


Рис. 1. Геологическая карта района мыса Кибера (с использованием ГГК-200, Саморуков и Матвеенко, 1984): 1 — флювиогляциальные отложения ( $Q_{III-IV}$ ); 2 — пермь-триасовые терригенные толщи; 3 — нижне—среднекаменноугольные терригенно-карбонатные толщи; 4 — верхнедевонские терригенные толщи; 5 — нижне—среднедевонские метаморфизованные толщи; 6 — гранитоиды Киберовского массива; 7 — разрывные нарушения; 8 — залегания кливажей  $S_1$  и  $S_2$ ; 9 — высотные отметки; 10 — участок структурных исследований; 11 — места фотографирования структур рис. 2, 3 и 4

ригенные отложения девона, представленные песчаниками, алевритами и хлорит-серицитовыми сланцами с карбонатными пачками, которые с размытом перекрываются карбонатно-терригенными толщами карбона и песчано-глинистыми отложениями пермо-триасового возраста. Палеозойские отложения мыса Кибера прорваны гранитоидным plutоном раннекаменноугольного возраста [2]. Зона контактowego метаморфизма во вмещающих толщах девонского возраста достигает нескольких сотен метров.

С целью сопоставления структурных парагенезов и их пространственных ориентировок был проведён структурно-деформационный анализ палеозойских метаморфизованных толщ, мезозойских терригенных толщ и палеозойских гранитоидов береговых обрывов района мыса Кибера.



Рис. 2. Кварцевый прожилок, смятый в опрокинутую синнадиговую складку

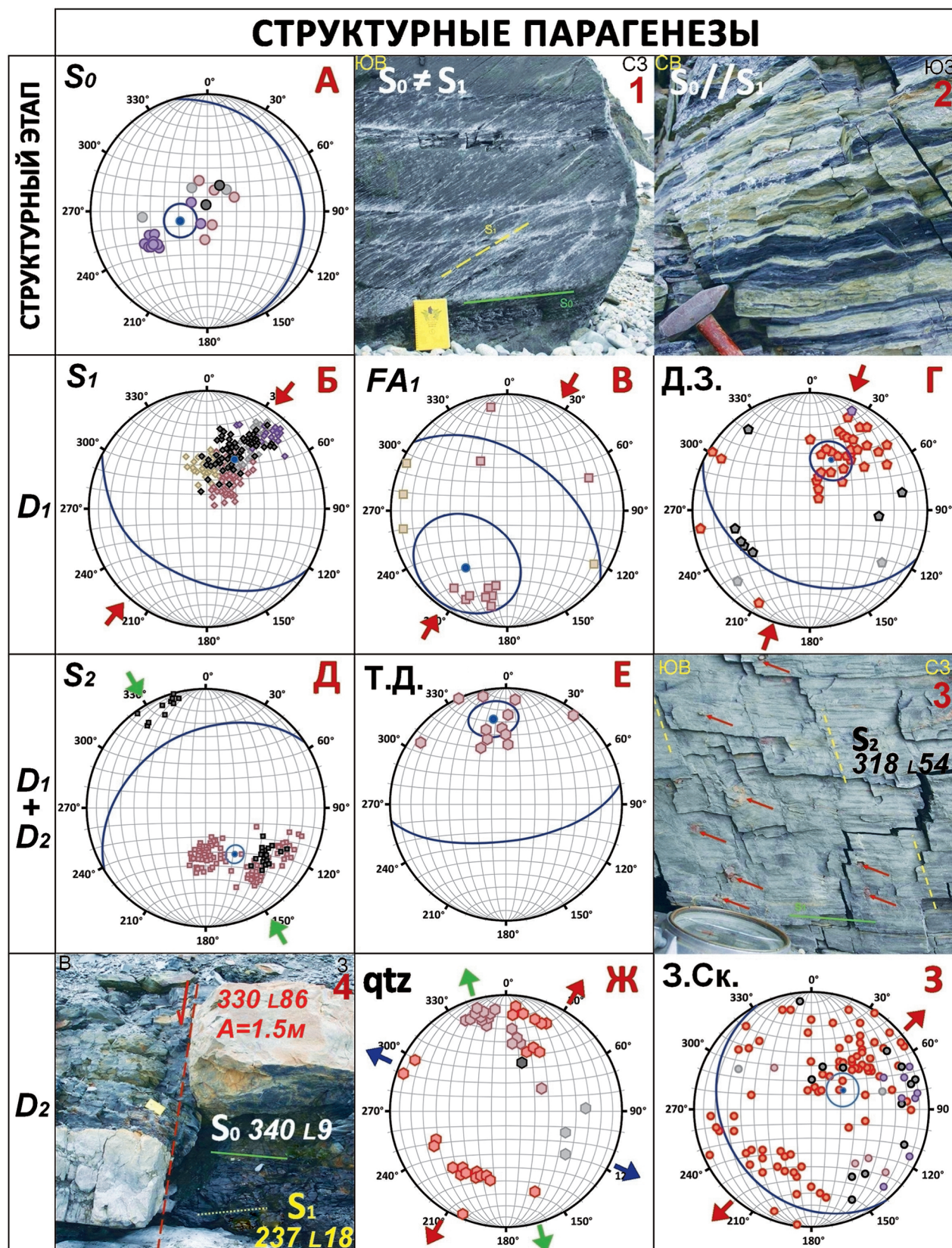


Рис.3. Стереограммы замеров структурных элементов: А – осадочная слоистость; Б – кливаж  $S_1$ ; В – осевые плоскости складок  $F_1$ ; Г – зоны дробления; Д – кливаж  $S_2$ ; Е – бороды нарастания; Ж – кварцевые прожилки; З – зеркала скольжения (равноплощадная сетка, проекция на нижнюю полусферу). Цвета полюсов на stereogramмах отображают разновозрастные отложения ( $D_{1-2}$  – темно-коричневый,  $D_3$  – светло-коричневый,  $C_{1-2}$  – темно-серый,  $C_3$  – светло-серый,  $P-T$  – фиолетовый,  $PZ$  гранитоиды – красный)

чёрных сланцах и будинированные кварцевые прожилки (мощностью до 2 см), образованные в условиях пластичных деформаций при ЮЮВ—ССЗ растяжении. При приближении к гранитному массиву заметны следы хрупко-пластичных деформаций. Кроме начальных стадий формирования  $C-S$ -тектонитов, отмечаются маломощные кварц-карбонатные прожилки, которые в условиях СЗ растяжения второго подэтапа ( $D_2^2$ ) подвергались будинированию с мелкоамплитудными сбросами.

Верхнедевонские толщи представлены ритмичным переслаиванием серых и темно-серых се-рицитизированных алевролитов. Кроме выраженной осадочной слоистости ( $S_0$ ), широко распространены основной кливаж  $S_1$  и кварцевые прожилки, интенсивно смятые в опрокинутые складки  $F_1$  (рис. 2). Для этих отложений характерны сульфидные стяжения и кристаллы пирита, со следами нескольких деформационных событий. Сами кристаллы рассекаются кливажом  $S_1$ , а кливаж  $S_2$  — огибает их. В тенях давления крупных кристаллов образуются кварцевые бороды нарастания, длиной до 1 мм. Плоскости их роста характеризуются юг—юго-восточным падением с довольно крутыми углами — среднее значение пространственного положения 171° 64° (рис. 3, Е). Удлинённая форма свидетельствует о формировании бород в условиях ССЗ—ЮЮВ растяжения без вращения на втором этапе, что подтверждается аналогичной ориентировкой кварцевых прожилков, образованных по трещинам отрыва в том же поле напряжений.

В отдельных обнажениях наблюдаются кинк-бэнды, порой имеющие вид шевронных складок. Их пространственное положение свидетельствует о формировании парагенеза этапа  $D_1^1$  в обстановке ССВ—ЮЮЗ сжатия и надвигообразования север—северо-восточной вергентности.

В устьевых обрывах руч. Конгломератовый изучались карбонатные гравийно-конгломератовые пачки, относящиеся к основанию нижне—средне-каменноугольных отложений. Наиболее отчетливо следы тектонических изменений отмечаются в слоях конгломератов галечно-валунной размерности (рис. 4). Цемент представлен гравийно-песчаной карбонатно-терригенной разностями, а в состав гальек и валунов входят: 1) хорошо окатанные граничные (40 %, размером 1—20, редко до 40 см); 2) глинистые сланцы (50%, длиной до 30 см); 3) кварц (10 %). Обломки пластичных глинистых сланцев имеют уплощение вдоль поверхностей кливажа  $S_1$ , достигая коэффициента удлинения 1/15. Отмечены редкие гальки алевритов с кливажом плойчатости  $S_3$ ?, по соседству с некливижированными обломками. Однако характер структурных изменений данных обломков до переотложения неясен. Вероятным представляется сжатие с локальным проявлением кренуляционного кливажа, по этой причине ориентировка кливажа в двух разных гальках схожа ( $S_3$  309° 46°, 305° 45°). Гальки более твёрдых гранитов и кварца, представляя собой концентраторы напряжений, характеризуются тенями давления в виде -структур, соответствующих формиро-



Рис. 4. Деформированные конгломераты нижнего карбона

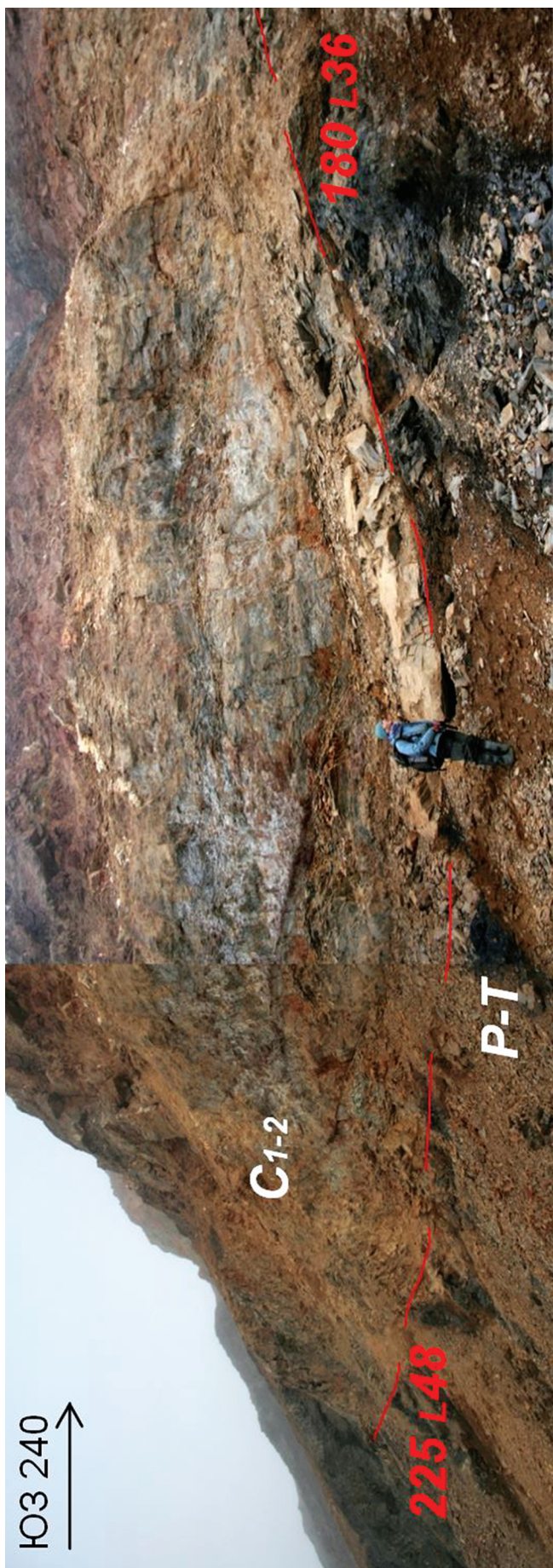


Рис. 5. Тектонический контакт карбонатных толщ  $C_{1-2}$ , надвинутых на отложения  $P-T$

ванию при повороте по часовой стрелке. В данном случае форма сигмоид свидетельствует о деформационных преобразованиях пород в условиях север—северо-восточного надвигообразования первого этапа ( $D_1^1$ ). В некоторых случаях пространство между разобщенными при растяжении обломками гранитных галек заполняется кварцкарбонатным цементом.

*Структурные парагенезы пермо-триасовых терригенных комплексов.* Толщи каменноугольного возраста перекрываются пермо-нижнетриасовыми отложениями, с коренными выходами восточнее изучаемого разреза, в районе бухты Нольде. Контакт — резкий, неровный, волнистый, в приконтактовой зоне по черным глинистым сланцам проявлены зоны катаклиза видимой мощностью около 4 м с глинками трения и мелкими складками волочения (рис. 5). Поверхность контакта смята в пологую открытую складку, и на протяжении нескольких десятков метров меняет положение от юго-западного ( $225 - 48^\circ$ ) до южного ( $180 - 36^\circ$ ). Для пермско-триасовых отложений кроме основного кливажа  $S_1$ , характерны субширотные малоамплитудные зеркала скольжения правосдвиговой и сдвигово-сбросовой кинематики.

*Гранитоиды Киберовского массива* представлены зеленовато-серыми среднезернистыми гранитами и светло-серыми крупнозернистыми гранит-порфирами раннекаменноугольного возраста ( $353 \pm 5$  млн. лет) [2]. Из-за резкого отличия физических свойств гранитоидов от стратифицированных толщ, их структурные парагенезы резко отличаются, даже если они формировались во время одного тектонического события. В гранитоидах сохранились преимущественно разрывные нарушения с зонами дезинтеграции пород разной степени и зеркалами скольжения. Чаще всего зоны дробления представлены катаклизитами мощностью от нескольких десятков сантиметров до нескольких метров, в единичных случаях — кварц-гранитными брекчиями. Большинство дизьюнктивов — это малоамплитудные сбросо-взбросовые нарушения, кинематика которых определяется только при наличии даек инородного состава (рис. 3—4). Иногда такие зоны выражены вторичными окисленными сульфидами. Зоны дробления в гранитоидах в основном имеют юго-западное падение поверхностей сместителя с вариациями углов падения от пологих до субвертикальных (рис. 3, Г). Штриховка линейности растяжения маркирует преимущественно сбросовую кинематику для дизьюнктивов (рис. 3, 3).

*Ориентировки структурных элементов.* Первичная осадочная слоистость, несмотря на активную структурную переработку, в разной степени сохранилась во всех изученных терригенных толщах. Если для палеозойских комплексов более характерно пологое залегание с углами до  $20^\circ$  и из-

менениями азимута падения, то слоистость первом-триасовых толщ преимущественно имеет СВ падение (средн. аз. пд.  $60^{\circ}$ – $40^{\circ}$ ) (рис. 3, А).

По ориентировке основного кливажа  $S_1$  была собрана наиболее представительная выборка (254 замера) ввиду его широкой распространенности на изучаемой площади. В целом для разновозрастных комплексов мезозоя и палеозоя выражено общее ЮВ падение кливажа с широкой вариацией углов падения от пологих до крутых (рис. 3, Б). Обоснованной зависимости положения  $S_1$  от возраста не отмечается, хотя одновозрастные толщи формируют сближенные облака точек. Среднее значение азимута падения (для всех замеров) —  $209^{\circ}$ – $39^{\circ}$ , соответствует СВ–ЮЗ сжатию.

Кливаж  $S_2$  ярко проявлен в слабометаморфизованных толщах девонского возраста, особенно в отложениях позднего девона (всего было сделано 85 замеров), при этом для разновозрастных толщ  $S_2$  имеет различную пространственную ориентировку и выражен по-разному (от проникающего кливажа до кливажа плойчатости). В нижнекаменноугольных пачках кливаж  $S_2$  характеризуется крутонаклонным юго-восточным падением (средний аз. пд.  $150^{\circ}$ – $80^{\circ}$ – $90^{\circ}$ ), для нижнедевонских отложений полюса замеров сгущаются в двух обособленных зонах (рис. 3, Д), что соответствует двум участкам изученных береговых клифов — западнее и восточнее Киберовского массива. Если в западной экзо-контактовой зоне  $S_2$  имеет северное падение с углами  $30^{\circ}$ , то восточнее массива — более пологое северо-западное падение (аз. пд.  $300^{\circ}$ – $10^{\circ}$ – $20^{\circ}$ ). Поздние субширотные сбросы этапа  $D_2^2$ , амплитудой до нескольких метров, затрагивают все выше-перечисленные разновозрастные комплексы.

О наличии самостоятельного структурного паттернеза  $D_3$  свидетельствует локальный кливаж  $S_3$  (аз. пд.  $250^{\circ}$ – $72^{\circ}$ ), наблюдаемый в одних обнажениях вместе с  $S_0$ ,  $S_1$  и  $S_2$ .

## Обсуждение

На основании структурно-парагенетического анализа для района мыса Кибера установлена сложная полифазная история тектонического развития с палеозойского до кайнозойского времени, включающая несколько деформационных событий. Их можно отнести к нескольким этапам деформации:

1) структуры раннего элмирского орогенеза не сохранились, были затушеваны более поздними событиями; доказательством тектонической активности региона в раннем карбоне служат палеозойские гранитоиды и гальки этих гранитоидов в по-дошвенных конгломератах нижнего карбона; 2) позднемеловые структуры коллизионно-надви-

гового этапа  $D_1^1$  (асимметричные и опрокинутые складки, кинк-бэнды с сингенетичным кливажом  $S_1$ ), доказывающие ССВ надвигообразование в пред-аптское время [3]; 3) структуры поздне- (или пост?) коллизионного этапа  $D_1^2$  ССВ–ЮЮЗ растяжения (кварцевые прожилки, локальные сбросы), связанные с пост-коллизионной релаксацией; 4) структуры молодых кайнозойских СЗ–ЮВ сжатий этапа  $D_2^1$  (кливаж  $S_2$ ); 5) СЗ–ЮВ растяжение этапа  $D_2^2$  с образованием кварцевых прожилков по трещинам отрыва, бород нарастания, фиш-структур; 6) ВСВ–ЗЮЗ сжатие этапа  $D_3$  с образованием кливажа  $S_3$ .

Разрывные нарушения района исследований, отраженные на карте, дешифрируются преимущественно по космо-снимкам, выражены в линеаментах рельефа и маркируются гидросетью. Разломы северо-западного простирания логично соотносятся с мезоструктурами поздне-коллизионного растяжения этапа  $D_1^2$  с правосдвиговой составляющей, характерной для Южно-Анюйской сутуры (ЮАС) [1]. Вероятно, в кайнозойское время при раскрытии регионального Южно-Чукотского рифта, при правосдвиговых деформациях по данным разломам произошло повторное смещение, чем объясняется их выраженность в рельефе. Дизьюнктивы северо-западного простирания, предположительно можно соотнести с СЗ–ЮВ растяжением этапа  $D_2^2$ .

Учитывая локальность и ограниченность распространения палеозойских терригенных толщ на Чукотке в целом, полученные результаты крайне важны для реконструкций деформационных событий всего Центрального сегмента Чукотского микроконтинента. Структурные данные для центральной части микроконтинента удачно согласуются с имеющимися материалами по Западно-Чукотскому сегменту [2], Южно-Анюйской сутуре и о. Врангеля [1] и частично — Аляске. Для всех перечисленных региональных структур основным деформационным этапом является коллизия, затушевавшая следы более ранних деформаций. Схожи структурные парагенезы этого этапа, включающие разномасштабные опрокинутые складки в сочетании с надвигами север—северо-восточной вергентности, и в отдельных случаях — ретрошарьеми юг—юго-западных румбов. Во время следующего этапа постколлизионного декомпрессионного растяжения наряду с образованием комплексов метаморфических ядер кордillerского типа (как Алярмаут и Куэквунь), формировались и локальные хрупкие сбросы. Самые поздние структуры кайнозойского возраста — правые сдвиги и сбросо-сдвиги в пределах ЮАС, для обоих сегментов Чукотки выражены некоторыми разнонаправленными фазами сбросов и сбросо-сдвигов.

## Выводы

1. Для мыса Кибера установлена сложная полифазная история тектонического развития от палеозойского до кайнозойского времени, включающая несколько деформационных событий.

2. Изучены структурные парагенезы коллизионного и постколлизионного этапов мезо-кайнозойских деформаций, затушевавших следы позднедевонского элсмирского орогенеза. Установлены

синколлизионные север—северо-восточное — юг—юго-западное и северо-западное — юго-восточное сжатие, и постколлизионное растяжение в нескольких направлениях.

3. Показано парагенетическое сходство деформационных структур изученного участка Центрально-Чукотского сегмента со структурами Западно-Чукотского сегмента и Южно-Ануйской сутуры.

Работа выполнена при финансовой поддержке РФФИ — грант №16-05-00146, 13-05-00249.

## ЛИТЕРАТУРА

1. Верхбицкий В.Е., Соколов С.Д., Тучкова М.И. Тектоника, этапы структурной эволюции и перспективы нефтегазоносности шельфа Чукотского моря (Российская Арктика). Геология полярных областей Земли. // Мат. XLII Тектонического совещания. Т. 1. М.: ГЕОС, 2009. С. 85–90.
2. Катков С.М., Лучинская М.В., Котов А.Б., Сальников Е.Б., Яковлева С.З. Позднепалеозойские гранитоиды Центральной Чукотки: структурное положение и обоснование возраста // Доклады РАН. 2013. Т. 450. № 2. С. 193–198.
3. Катков С.М., Миллер Э.Л., Торо Х. Структурные парагенезы и возраст деформаций западного сектора Ануйско-
- Чукотской складчатой системы (Северо-Восток Азии) // Геотектоника. 2010. № 3. С. 1–20.
4. Natal' in B.A., Amato J.M., Tого J., Wright J.E. Paleozoic rocks of northern Chukotka Peninsula, Russian Far East // Tectonics. 1999. V. 18. N 6. P. 977–1003.
5. Sokolov S.D., Bondarenko G.Ye., Morozov O.L. et al. Souyh Anyui suture, northeast Arctic Russia: Facts and problems // Tectonic evolution of the Bering Shelf-Chukchi Sea-Arctic Margin and Adjacent Landmasses / E.L. Miller, A. Grantz, S.L. Klemperer (Eds). Boulder, Colorado, GSA Special Paper 360. 2002. P. 209–224.

УДК 551.736+551.761 (571.5)

## О ПОЗДНЕГАГАРЬЕОСТРОВСКОЙ БИОТЕ НА СЕВЕРЕ СИБИРСКОЙ ПЛАТФОРМЫ

Г.Н. САДОВНИКОВ

Российский государственный геологоразведочный университет  
117997, Россия, г. Москва, ул. Миклухо-Маклая, д. 23; e-mail: sadovnikov.gennady@yandex.ru

До начала траппового вулканизма Средняя Сибирь была равниной, покрытой тайгой с преобладанием кордантитовых. Травянистый покров склонов состоял в основном из папоротников. Болотистые низины покрывали членистостебельные. Вулканические извержения в конце вишсильского (северодвинского) века привели к образованию возвышенности, на которой сформировался почти такой же растительный покров, но с существенным преобладанием травянистой растительности склонов. Древесная растительность преобладает лишь в двух местонахождениях, в трех составляет около 50%, в пяти — отсутствует. Ассоциации травянистого покрова склонов в большей части местонахождений составляют не менее 46%, в двух местонахождениях — около 100 %, в 42 % местонахождений — отсутствуют. Резко преобладают папоротники. Доминантами являются *Todites (?) anthriscifolia*, *Todites (?) sibirica*, *Prynadaeopteris (?) kargovii*, редко *Cladophlebis aff. taimyrensis*. Иногда кодоминируют *Prynadaeopteris (?) venusta*. Среди голосеменных доминантами иногда бывают *Yavorskyia radzenkovi*. В травянистом покрове низин преобладают членистостебельные: в двух местонахождениях составляют около 100 %, в двух — более 50 %, в четырех — от 12 до 33 %, в двух местонахождениях отсутствуют. Обычно доминируют *Paracalamites*, иногда кодоминируют *Phyllotheeca turnaensis*, *P. minuta*, *Paraschizoneura*. В бассейнах значительна роль двустворок *Palaeoanodonta*. Флора конца гагарьеостровского времени по составу мало отличается от раннегагарьеостровской, но экологические отличия существенны. Лесные сообщества уступают главенствующую роль травянистым сообществам склонов, что в экологическом плане сближает эту флору со сменяющей её тутончанско-раннедвурогинской флорой.

Ключевые слова: вишсильский (северодвинский) век; гагарьеостровское время; древесная растительность; травянистая растительность склонов и низин; тутончанско-раннедвурогинская флора.